

## 二维可压缩磁流体模拟（用 MATLAB 语言复原工作）

陈宗华(Zong-hua Chen, 814484233@qq.com, 15307756701)

玉林师范学院（东校区）物理与电信工程学院

广西玉林市教育东路 1303 号, 537000

2019-08

### 摘要

本工作是围绕谢华生博士的著作《计算等离子体物理导论》<sup>[1]</sup>第 5 章 5.42 节撕裂模及磁重联的内容展开讨论的。此书是等离子体物理数值计算与模拟的入门教程，通过具体的算例来帮助初学者理解相关的物理概念和物理图像，既有新意又有实用性，对于初学入门者来说，是一本不可多得的书。书中的算例均提供了相关的代码，基本上是以 MATLAB 语言为主，有些算例并没有完全用 MATLAB 语言编写，例如撕裂模及磁重联的那一节<sup>[2]</sup>的算例提供的是 Fortran 代码，对于多种代码语言不能一一精通的初学者来说这是一个挑战。此外，作者提供的参考著作(傅竹风, 1995《空间等离子体数值模拟》)<sup>[3]</sup>网上缺货，电子版在全国磁约束核聚变专业群也未能求得。为此，我按照书籍提供的线索及其提供的 Fortran 代码注释说明，用 MATLAB 语言对撕裂模及磁重联这一节的内容进行复原工作。

## 1 二维可压缩磁流体方程

平板模型，所有的变量都在(x,z)平面，各变量 y 方向是均匀的  $\partial/\partial y = 0$ 。

### 1.1 原始方程

原始方程没有霍尔项， $\eta, \gamma, \nu$  为常数。

$$\begin{aligned}\frac{\partial \rho}{\partial t} &= -\mathbf{u} \cdot \nabla \rho - \rho \nabla \cdot \mathbf{u}, \\ \frac{\partial p}{\partial t} &= -\mathbf{u} \cdot \nabla p - \gamma p \nabla \cdot \mathbf{u}, \\ \rho \frac{\partial \mathbf{u}}{\partial t} &= -\rho \mathbf{u} \cdot \nabla \mathbf{u} - \nabla p - \frac{1}{\mu_0} \nabla \frac{B^2}{2} + \frac{1}{\mu_0} \mathbf{B} \nabla \cdot \mathbf{B} + \nu \nabla^2 \mathbf{u}, \\ \frac{\partial \mathbf{B}}{\partial t} &= \nabla \times (\mathbf{u} \times \mathbf{B}) - \nabla \times [\eta (\nabla \times \mathbf{B})].\end{aligned}\tag{1}$$

其中，使用条件

$$\begin{aligned}\nabla \times \mathbf{E} &= -\frac{\partial \mathbf{B}}{\partial t}, \\ \mathbf{J} &= \nabla \times \mathbf{B}, \\ \mathbf{E} &= -\mathbf{u} \times \mathbf{B} + \eta \mathbf{J}.\end{aligned}\tag{2}$$

考虑到  $\nabla \cdot \mathbf{B} = 0$ ，我们使用  $A_y$  来表示  $\mathbf{B}$ ，例如

$$\mathbf{B} = \nabla \times \mathbf{A} = \nabla \times (0, A_y, 0) = (-\partial A_y / \partial z, 0, \partial A_y / \partial x)\tag{3}$$

把上述方程写成显示的二维方程组（已经归一化）

$$\begin{aligned}
 \frac{\partial \rho}{\partial t} &= -u_x \frac{\partial \rho}{\partial x} - u_z \frac{\partial \rho}{\partial z} - \rho \left( \frac{\partial u_x}{\partial x} + \frac{\partial u_z}{\partial z} \right), \\
 \frac{\partial p}{\partial t} &= -u_x \frac{\partial p}{\partial x} - u_z \frac{\partial p}{\partial z} - \gamma p \left( \frac{\partial u_x}{\partial x} + \frac{\partial u_z}{\partial z} \right), \\
 \frac{\partial u_x}{\partial t} &= -u_x \frac{\partial u_x}{\partial x} - u_z \frac{\partial u_x}{\partial z} - \frac{1}{\rho} \frac{\partial}{\partial x} \left( p + \frac{B^2}{2} \right) + \frac{1}{\rho} \left( B_x \frac{\partial B_x}{\partial x} + B_z \frac{\partial B_x}{\partial z} \right) + \frac{1}{\rho} \nu_m \left( \frac{\partial^2 u_x}{\partial x^2} + \frac{\partial^2 u_x}{\partial z^2} \right), \\
 \frac{\partial u_z}{\partial t} &= -u_x \frac{\partial u_z}{\partial x} - u_z \frac{\partial u_z}{\partial z} - \frac{1}{\rho} \frac{\partial}{\partial z} \left( p + \frac{B^2}{2} \right) + \frac{1}{\rho} \left( B_x \frac{\partial B_z}{\partial x} + B_z \frac{\partial B_z}{\partial z} \right) + \frac{1}{\rho} \nu_m \left( \frac{\partial^2 u_z}{\partial x^2} + \frac{\partial^2 u_z}{\partial z^2} \right), \\
 \frac{\partial A_y}{\partial t} &= -u_x \frac{\partial A_y}{\partial x} - u_z \frac{\partial A_y}{\partial z} + \eta_m \left( \frac{\partial^2 A_y}{\partial x^2} + \frac{\partial^2 A_y}{\partial z^2} \right).
 \end{aligned} \tag{4}$$

## 1.2 归一化

对于方程组(4)，归一化的密度，压强，长度，速度和时间的归一化分别是  $\rho_0, p_0, L_0, B_0$ ， $u_A = B_0 / \sqrt{\mu_0 \rho_0}$ ， $\tau_A = L_0 / u_A$ 。

参数估计

$$\nu_m \rightarrow \frac{\nu}{u_A L_0 \rho_0}, \eta_m \rightarrow \frac{\eta}{u_A L_0}, \tag{5}$$

磁 Lundquist 数  $S = 1 / \eta_m$ 。

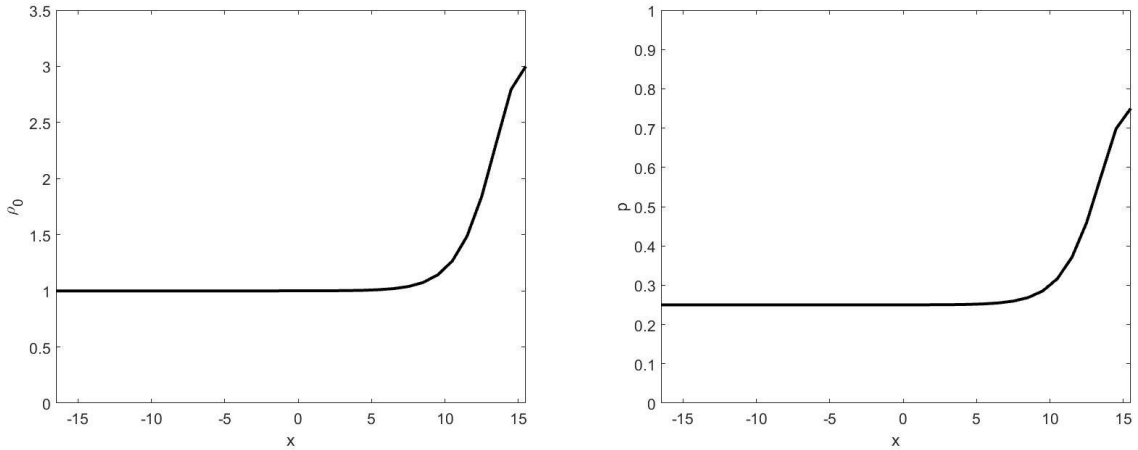
## 1.3 离散化

对于方程组(4)右手边的空间微分，采用中心差分格式如下

$$\begin{aligned}
 \frac{\partial f}{\partial x} &\rightarrow \frac{f_{i+1} - f_{i-1}}{2\Delta x}, \\
 \frac{\partial f}{\partial z} &\rightarrow \frac{f_{j+1} - f_{j-1}}{2\Delta z}, \\
 \frac{\partial^2 f}{\partial x^2} &\rightarrow \frac{f_{i+1} + f_{i-1} - 2f_i}{\Delta x^2}, \\
 \frac{\partial^2 f}{\partial z^2} &\rightarrow \frac{f_{j+1} + f_{j-1} - 2f_j}{\Delta z^2}.
 \end{aligned} \tag{6}$$

对于方程组的左边的时间偏微分，采用的是四阶龙格库塔法格式求解。

## 1.4 初始条件



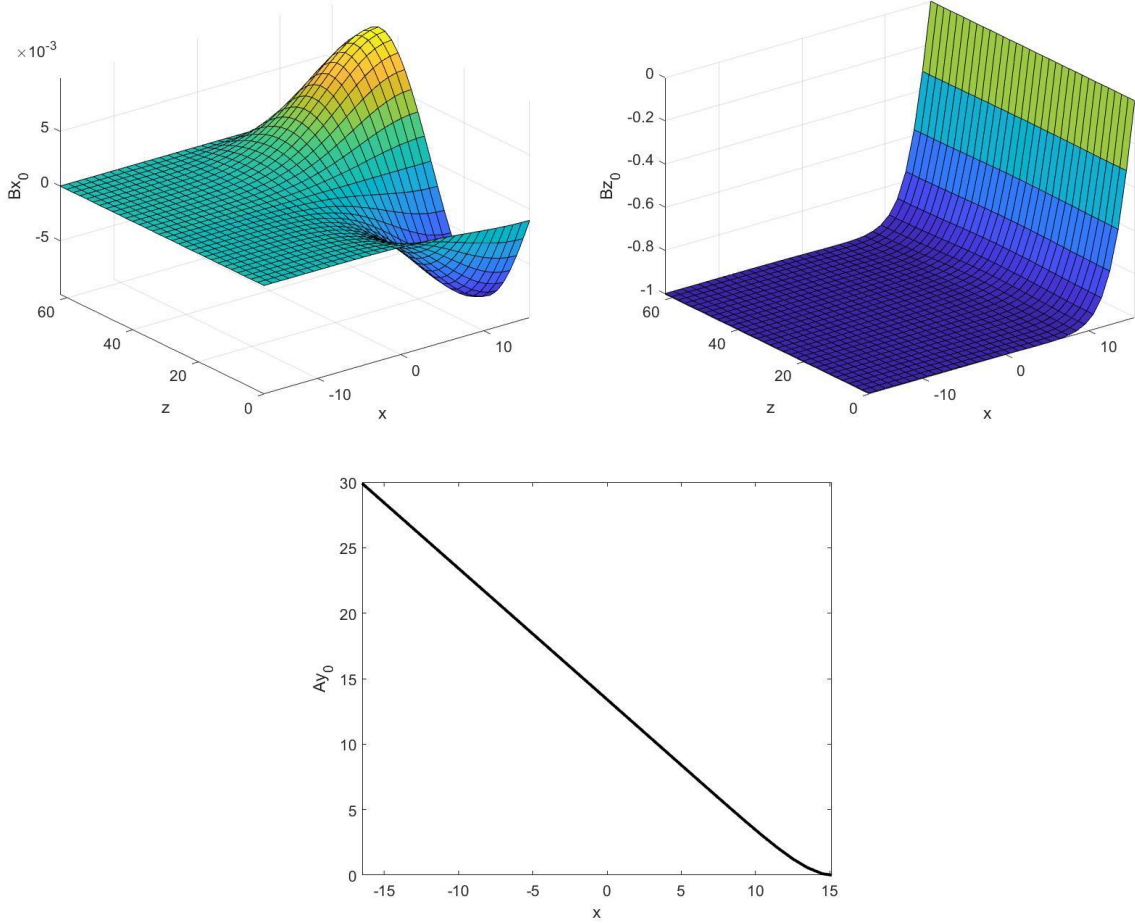


图 1 初始参数空间分布

### 1.5 边界条件

在  $z$  方向上采用的是周期性边界条件，在  $x$  方向上用的是混合边界条件。在  $x$  轴的下边界采用条件为

$$\begin{aligned} u_x(x_d, :) &= 0, \\ A_y(x_d, :) &= 0, \end{aligned} \quad (7)$$

而  $\rho, p, u_z$  在  $x$  轴的下边界采用的是自由边界条件。在  $x$  轴的上边界采用条件为

$$\begin{aligned} u_x(x_u, :) &= 0, \\ \frac{\partial u_z}{\partial x} &= 0, \\ \frac{\partial A_y}{\partial x} &= 0. \end{aligned} \quad (8)$$

## 2 MATLAB 求解代码结构

变量  $U(ni, nj, 5)$  存放了 5 个二维变量，分别代表  $\rho, p, u_x, u_z, A_y$ 。本工作是基于 MATLAB 语言重新对著作<sup>[2, 4]</sup>提供的 Fortran 代码进行改写，结合 MATLAB 的矩阵运算优势，把原来单点循环赋值运算，全部改写成矩阵赋值运算，使代码得到了很大程度上的简化。为擅于 MATLAB 语言而不会用 Fortran 的初学者提供参考。另外，在 Fortran 代码的子程序“Subroutine right(xo, xi)”中，求解  $\frac{\partial u_x}{\partial t}$  的右边 pt 项本来是对  $x$  进行求微分，但实际上输入的字母有误，具体是子程序中“-rdz\*(pt(i+1,j)-pt(i-1,j)))”正确应该是乘以 rdx。由于 rdx 和 rdz 是个比较相接近的常数，没有对整体的趋势产生显著影响。

## 3 复原模拟结果

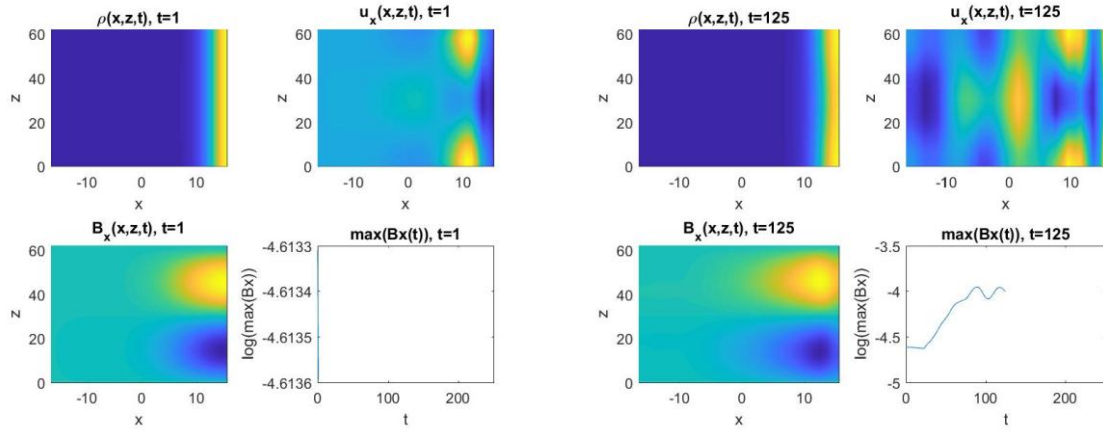
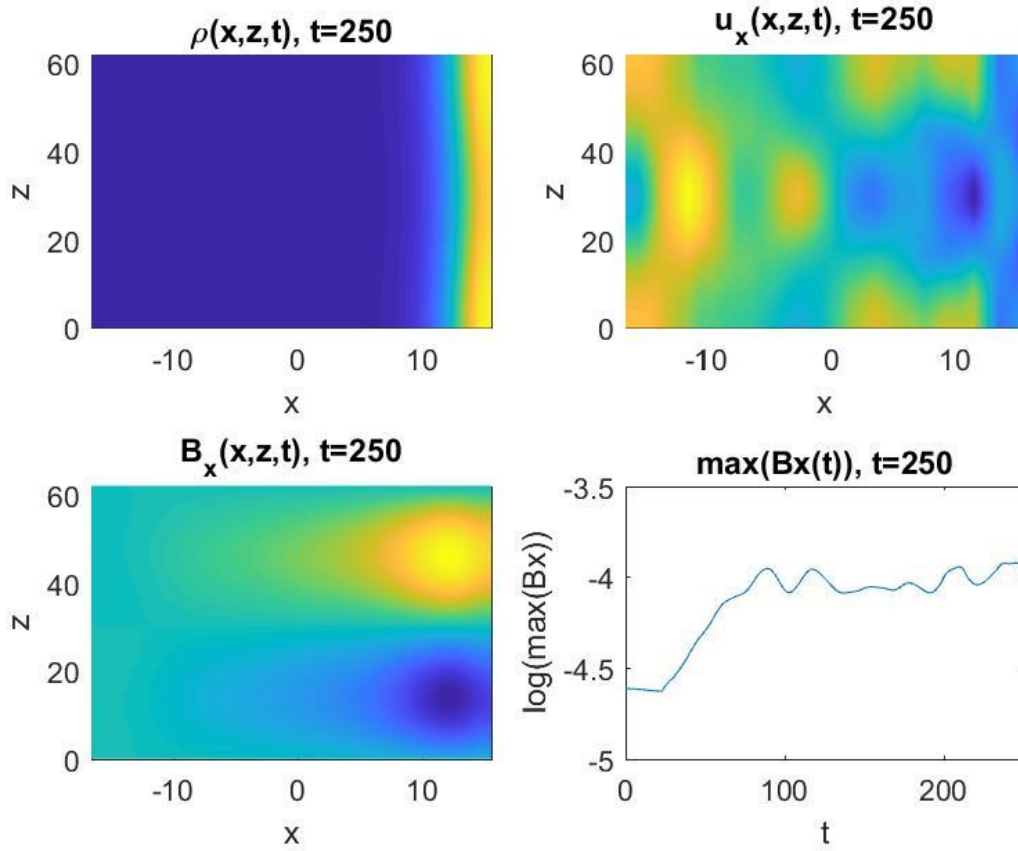
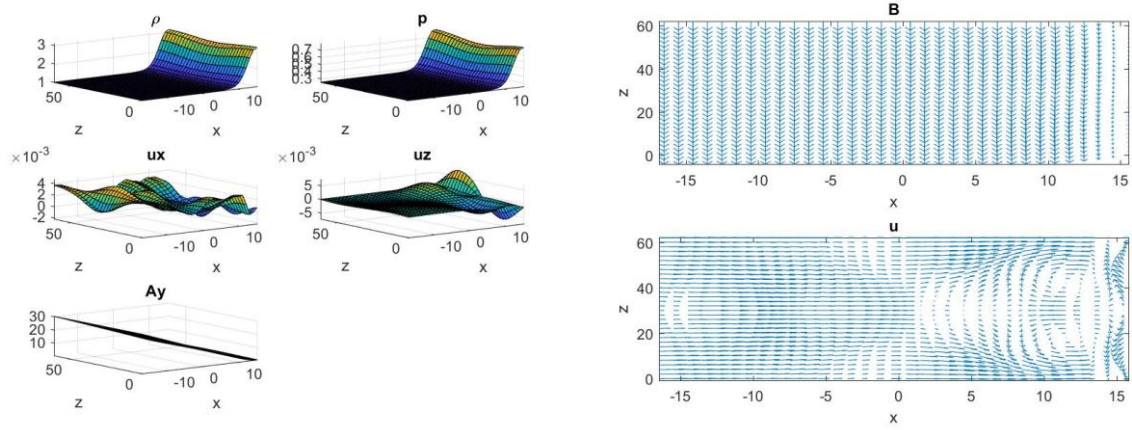

 图 2 场随时间演化  $t=1$ s 及 125s。

 图 3 场随时间演化  $t=250$ s。

图 2-3 为一组典型的非线性模拟结果，其中我们可以看到初始扰动调整后，开始进入一段指数增长的线性阶段，然后达到非线性饱和，饱和后基本稳态演化。


 图 4 场随时间演化  $t=250s$ .

## 参考文献

- [1] 谢华生. 计算等离子体物理导论[M]. 北京: 科学出版社, 2018.
- [2] 谢华生. 撕裂模及磁重联[M]//谢华生. 计算等离子体物理导论. 北京: 科学出版社, 2018: 107-111.
- [3] 傅竹风, 胡友秋. 空间等离子体数值模拟[M]. 安徽科学技术出版社, 1995.
- [4] 谢华生. Hua-sheng XIE\* (谢华生) [EB/OL]. [2019-08-27]. <http://hsxie.me/>.

## 附录：MATLAB 程序

## MHD2D\_main

二维可压缩磁流体模拟（用 MATLAB 语言复原工作） 陈宗华(Zong-hua Chen, [814484233@qq.com](mailto:814484233@qq.com), 15307756701) 玉林师范学院（东校区）物理与电信工程学院 广西玉林市教育东路 1303 号，537000 2019-08

```

close;clear;clc;
global dx dz gamma nu eta dt Bx Bz
nx=33;
nz=32;
nt=5000;
dt=0.05; % 要满足 dt < min(dx,dz)/[sqrt(1.0+0.5*gamma*beta)*va]
dx=1.0; dz=2.0;
xl=dx*nx/2; zl=dz*(nz-1);
xx=-xl:dx:xl-dx;
zz=0:dz:zl;
[x,z]=meshgrid(xx,zz);
x=x';z=z';
gamma=1.66667; %
eta=0.01;
nu=0.05;
beta=0.5; % beta in x=Lx
rho0=1.0; % rho0 -- mass density rho0 in x=Lx
B0=1.0; % b0 -- B0
bl=3.0; % bl -- width of current sheet
va=sqrt(B0*B0/rho0); % Alfvén velocity
p0=0.5*beta*B0*B0; % p0 -- pressure p0 in x=Lx
t0=0.5*beta*va*va; % t0 -- temperature T0 in x=Lx
cfl=1.5; % Courant-Friedrichs-Lewy condition parameter
U=zeros(nx,nz,5);
% % 初始场分布
s=((1:nx)-nx)*dx/bl;
b=B0*tanh(s);
p=p0+0.5*(B0.^2-b.^2);
rho=p/t0;
Ay=B0.*bl.*log(cosh(s));
U(:, :, 1)=repmat(rho', 1, nz);
U(:, :, 2)=repmat(p', 1, nz);
U(:, :, 5)=repmat(Ay', 1, nz);
% % 初始场扰动
nw=1; % nw -- number of initial perturbation
abd=10; % abd -- perturbation width in x
am=[0.01,zeros(1,9)]; % am -- prtb amplitude
s=((2:nx)-nx)*dx/abd;
for m=1:nw
    sii=exp(-s.*s).*(am(m)*B0);
    sij=sin((2*m*((1:nz)-0.5*nz)/(nz-1)+0.5)*pi)*dz*(nz-1)/(2.0*m*pi);
end
U(:, :, 5)=U(:, :, 5)+[zeros(1,nz);sii*sij];
t=0;
rho0=U(:, :, 1);p0=U(:, :, 2);ux0=U(:, :, 3);uz0=U(:, :, 4);Ay0=U(:, :, 5);[Bx0,Bz0]=calcBxz(t,U);
for it=1:nt
    t=t+dt;
    [Bx,Bz]=calcBxz(t,U);
    Bxm(it)=max(max(Bx));
    U=RK4(t,U);
    if mod(it,20)==0
        figure(2)
        subplot(3,2,1);surf(x,z,U(:, :, 1)); xlabel('x');ylabel('z');title('\rho');axis tight
        subplot(3,2,2);surf(x,z,U(:, :, 2)); xlabel('x');ylabel('z');title('p');axis tight
    end
end

```

```

subplot(3, 2, 3);surf(x, z, U(:, :, 3)); xlabel('x');ylabel('z');title('ux');axis tight
subplot(3, 2, 4);surf(x, z, U(:, :, 4)); xlabel('x');ylabel('z');title('uz');axis tight
subplot(3, 2, 5);surf(x, z, U(:, :, 5)); xlabel('x');ylabel('z');title('Ay');axis tight
figure(3)
subplot(2, 1, 1);quiver(x, z, Bx, Bz, 2); xlabel('x');ylabel('z');title('B');axis tight
subplot(2, 1, 2);quiver(x, z, U(:, :, 3), U(:, :, 4), 2); xlabel('x');ylabel('z');title('u');axis tight
figure(4)
subplot(2, 2, 1);pcolor(x, z, U(:, :, 1)); shading('interp');
xlabel('x');ylabel('z');title(['\rho(x, z, t), t=', num2str(t)])
subplot(2, 2, 2);pcolor(x, z, U(:, :, 3)); shading('interp');
xlabel('x');ylabel('z');title(['u_x(x, z, t), t=', num2str(t)])
subplot(2, 2, 3);pcolor(x, z, Bx); shading('interp');
xlabel('x');ylabel('z');title(['B_x(x, z, t), t=', num2str(t)])
subplot(2, 2, 4);
plot([1:it]*dt, log(Bxm));xlabel('t');ylabel('max(Bx(t))');title(['max(Bx(t)), t=', num2str(t)])
xlabel('t');ylabel('log(max(Bx))');title(['max(Bx(t)), t=', num2str(t)])
xlim([0, nt*dt])
drawnow
end
end
function Uo=RK4(t, Ui)
% U(:, :, i), 其中 i= 1 2 3 4 5 --> rho p ux uz ay
global dt
k1=rightEq(t, Ui);
U1=Ui+0.5*dt*k1;
k2=rightEq(t, U1);
U2=Ui+0.5*dt*k2;
k3=rightEq(t, U2);
U3=Ui+dt*k3;
k4=rightEq(t, U3);
Uo=Ui+dt*(k1+2*k2+2*k3+k4)/6;
end
function k=rightEq(t, U)
% U(:, :, i), 其中 i= 1 2 3 4 5 --> rho p ux uz ay
global gamma nu eta dx dz Bx Bz
rho=U(:, :, 1);
p=U(:, :, 2);
ux=U(:, :, 3);
uz=U(:, :, 4);
Ay=U(:, :, 5);
pt=p+0.5*(Bx.^2+Bz.^2);% pt=p+b^2/2
[nx, nz, ~]=size(U);
ic=1:nx;
jc=1:nz;
ip=ic+1;ip(nx)=1;
im=ic-1;im(1)=nx;
jp=jc+1;jp(nz)=1;
jm=jc-1;jm(1)=nz;
k(:, :, 1)=-ux.*(rho(ip, :)-rho(im, :))/(2*dx) ...
-uz.*(rho(:, jp)-rho(:, jm))/(2*dz) ...
-rho.*((ux(ip, :)-ux(im, :))/(2*dx) ...
+(uz(:, jp)-uz(:, jm))/(2*dz));
k(:, :, 2)=-ux.*(p(ip, :)-p(im, :))/(2*dx) ...
-uz.*(p(:, jp)-p(:, jm))/(2*dz) ...
-gamma.*p.*((ux(ip, :)-ux(im, :))/(2*dx) ...
+(uz(:, jp)-uz(:, jm))/(2*dz));
k(:, :, 3)=-ux.*(ux(ip, :)-ux(im, :))/(2*dx) ...
-uz.*(ux(:, jp)-ux(:, jm))/(2*dz) ...
-1./rho.*(pt(ip, :)-pt(im, :))/(2*dz) ... % 原程序有错误(pt(ipx, :)-pt(imx, :))/(2*dz)中应该是除以 dx 的
+1./rho.*(Bx.*(Bx(ip, :)-Bx(im, :))/(2*dx)+Bz.*(Bx(:, jp)-Bx(:, jm))/(2*dz)) ...
+nu./rho.*((ux(ip, :)+ux(im, :)-2*ux(ic, :))/(dx*dx)+(ux(:, jp)+ux(:, jm)-2*ux(:, jc))/(dz*dz));
k(:, :, 4)=-ux.*(uz(ip, :)-uz(im, :))/(2*dx) ...

```

```

    -uz.*(uz(:,jp)-uz(:,jm))/(2*dz) ...
    -1./rho.*(pt(:,jp)-pt(:,jm))/(2*dz) ...
    +1./rho.*(Bx.*(Bz(ip,:)-Bz(im,:))/(2*dx)+Bz.*(Bz(:,jp)-Bz(:,jm))/(2*dz)) ...
    +nu./rho.*((uz(ip,:)+uz(im,:)-2*uz(ic,:))/(dx*dx)+(uz(:,jp)+uz(:,jm)-2*uz(:,jc))/(dz*dz));
k(:, :, 5)=-ux.*(Ay(ip,:)-Ay(im,:))/(2*dx) ...
    -uz.*(Ay(:,jp)-Ay(:,jm))/(2*dz) ...
    +eta.*((Ay(ip,:)+Ay(im,:)-2*Ay(ic,:))/(dx*dx)+(Ay(:,jp)+Ay(:,jm)-2*Ay(:,jc))/(dz*dz));
% x 的下边界, i=1
k(1, :, 1)=k(2, :, 1);
k(1, :, 2)=k(2, :, 2);
k(1, :, 3)=0;
k(1, :, 4)=k(2, :, 4);
k(1, :, 5)=0;
% x 的上边界, i=end
k(end, :, 1)=0 ...
    -uz(end, :).*(rho(end, jp)-rho(end, jm))/(2*dz) ...
    -rho(end, :).*((ux(end, :)-ux(end-1, :))/(1*dx) ...
    +(uz(end, jp)-uz(end, jm))/(2*dz));
k(end, :, 2)=0 ...
    -uz(end, :).*(p(end, jp)-p(end, jm))/(1*dz) ...
    -gamma.*p(end, :).*((ux(end, :)-ux(end-1, :))/(1*dx) ...
    +(uz(end, jp)-uz(end, jm))/(2*dz));
k(end, :, 3)=0;
k(end, :, 4)=0 ...
    -uz(end, :).*(uz(end, jp)-uz(end, jm))/(2*dz) ...
    -1./rho(end, :).*(pt(end, jp)-pt(end, jm))/(2*dz) ...
    +1./rho(end, :).*(Bx(end, :).*(Bz(end, :)-Bz(end-1, :))/(1*dx)+0) ...
    +nu./rho(end, :).*((2*uz(end-1, :)-2*uz(end, :))/(dx*dx)+(uz(end, jp)+uz(end, jm)-
2*uz(end, jc))/(dz*dz));
k(end, :, 5)=0 ...
    -uz(end, :).*(Ay(end, jp)-Ay(end, jm))/(2*dz) ...
    +eta.*((2*Ay(end-1, :)-2*Ay(end, :))/(dx*dx)+(Ay(end, jp)+Ay(end, jm)-2*Ay(end, jc))/(dz*dz));
end

function [Bx, Bz]=calcBxz(t, U)
global dx dz
[nx, nz, ~]=size(U);
ic=1:nx;
jc=1:nz;
ip=ic+1; ip(nx)=1;
im=ic-1; im(1)=nx;
jp=jc+1; jp(nz)=1;
jm=jc-1; jm(1)=nz;
Bx=-(U(:, jp, 5)-U(:, jm, 5))/(2*dz);
Bz= (U(ip, :, 5)-U(im, :, 5))/(2*dx);
Bx(end, :)=-(U(end, jp, 5)-U(end, jm, 5))/(2*dz);
Bz(end, :)=0;
end

```